

## بررسی ژنوتیپ ویروس هپاتیت B و اهمیت بالینی موتاسیونهای ناحیه Precore و Basal Core Promoter در پیشرفت بیماری کبدی

اشرف محمدخانی<sup>۱</sup>، دکتر حسین پوستچی<sup>۲</sup>، دکتر قدرت الله منتظری<sup>۳</sup>، دکتر رضا ملکزاده<sup>۴</sup>

<sup>۱</sup> پژوهشگر، مرکز تحقیقات بیماریهای گوارش و کبد، دانشگاه علوم پزشکی تهران

<sup>۲</sup> پژوهشگر، انسٹیتوولی کبد و ستمید، دانشگاه سیدنی، استرالیا

<sup>۳</sup> دانشیار، مرکز تحقیقات بیماریهای گوارش و کبد، دانشگاه علوم پزشکی تهران

<sup>۴</sup> استاد، مرکز تحقیقات بیماریهای گوارش و کبد، دانشگاه علوم پزشکی تهران

### چکیده

#### زمینه و هدف

عفونت ویروس هپاتیت B (HBV) معمول ترین علت بیماری کبدی پیشرفتی در ایران است. تظاهرات بیماری می‌توانند به دلیل تغییر ساختار ژنومی ویروس HBV ایجاد شوند. هدف از این مطالعه، ابتدا تعیین توالی کامل ساختار ژنومی به منظور مطالعه ژنوتیپ ویروس هپاتیت B و سپس بررسی فراوانی موتاسیونهای نواحی precore و basal core promoter (BCP) در بیماران با طیف ناکل مزمن تاکارسینوم هپاتوسولور (HCC) است.

#### روش بررسی

از ۱۸۵ بیمار مبتلا به هپاتیت مزمن B، سیروز و کارسینوم هپاتوسولور، تعداد ۱۱۰ بیمار که دارای HBV DNA قابل تشخیص بودند وارد مطالعه شدند. در این بیماران توالی نواحی BCP و precore تعیین شد. ۲۴ بیماری که تعیین توالی کامل ژنوم ویروسی آنها امکان پذیر بود جهت بررسی ژنوتیپ‌های رایج نیز مورد مطالعه قرار گرفتند.

#### یافته‌ها

در بررسی ژنوتیپ‌های ویروس هپاتیت B نشان داده شد که هر ۲۴ بیمار با یک بوت استرپ  $\star\star\star$  در ساب ژنوتیپ D1  $\star\star\star$  دسته‌بندی شدند. تمام سوشها ۳۱۸۲ باز طول داشتند، به جز ۲ بیمار مبتلا به HCC که دارای حذف ۹ و ۲۱ نوکلئوتیدی در ناحیه  $S_2$  preS بودند. در بخش دیگر این مطالعه نشان دادیم که بیماران HBeAg-منفی دارای فراوانی بالاتری از موتاسیونهای ناحیه BCP و precore مثبت به بیماران HBeAg-Mثبت بوده‌اند. فرانسیس موتاسیونهای G ۱۷۶۴A و A ۱۷۶۲T با پیشرفت بیماری افزایش پیدا می‌کرد، در حالی که جایگزینی A به جای G در موقعیت ۱۷۵۷ کاهش می‌یافت. موتاسیون مضاعف T ۱۷۶۲/A ۱۷۶۴ در بیماران مبتلا به سیروز و HCC به طور معنی دار بالاتر بود.

#### نتیجه‌گیری

براساس این مطالعه تمام بیماران با عفونت مزمن و HBeAg مثبت یا منفی و همچنین سیروز و کارسینوم هپاتوسولور، ژنوتیپ D1 داشتند. موتاسیون مضاعف T ۱۷۶۲/A ۱۷۶۴ در ناحیه BCP به همراه A ۱۷۵۷G از مهمترین فاکتورهای سیرپیشرونده بیماری و تکثیر ویروس معرفی شدند.

**کلید واژه:** هپاتیت B، ژنوتیپ D، کارسینوم هپاتوسولور و basal core promoter

گوارش / دوره ۱۲، شماره ۱، بهار ۱۳۸۶، ۴۲-۳۶

تاریخ پذیرش: ۸۶/۲/۱۲

تاریخ اصلاح نهایی: ۸۶/۲/۱۲

تاریخ دریافت: ۸۵/۷/۱۳

#### زمینه و هدف

آلودگی به ویروس هپاتیت B یک مشکل بهداشتی در سراسر دنیا است. هر چند افرادی که مبتلا به عفونت مزمن با این ویروس می‌باشند در سراسر دنیا پراکنده‌اند، اما بیش از سه‌چهارم از مبتلایان در آسیا، نویسنده مسئول: تهران، خیابان کارگر شمالی، بیمارستان شریعتی، مرکز تحقیقات بیماریهای گوارش و کبد، کد پستی ۱۴۱۱۴

تلفن و نامبر: ۰۲۹۹۰۸۸۰۱۲۹۹۲

E-mail: malek@ams.ac.ir

\* boot strap  
\*\* subgenotype D1  
\*\*\* seroconversion

## هپاتیت مزمن B با ژنوتیپ D

HBV DNA قابل تشخیص بود. براین اساس، نمونه سرم مربوط به ۳۶ بیمار مبتلا به هپاتیت مزمن بدون علامت، HBeAg منفی و نرمال در طی معاینات سونوگرافیک منظم ۶ ماهه در دوره ۳ ساله و ۵۵ بیمار دچار هپاتیت مزمن شامل ۱۵ بیمار با HBeAg مثبت و ۴۰ بیمار با HBeAg منفی که آزمونهای علمکرد کبدی آنها غیرطبیعی بود و ۱۲ بیمار دچار سیروز وارد مطالعه شدند. همچنین تعداد ۷ بیمار با تشخیص کارسینوم هپاتوسلولوارد مطالعه شدند.

**استخراج DNA ویروس و تعیین مقدار آن**  
 ویروس از ۱۰۰ میلی‌لتر سرم با استفاده از سیستم خودکار (version 2.1) DNA Roche Magna Pure و براساس دستورالعمل موجود استخراج شد و در حجم ۱۱ میلی‌لتر از بافر رقیق‌کننده مورد استفاده قرار گرفت. اندازه‌گیری DNA ویروس توسط پرایمرهای و پروباهای هیبریدیزاسیون اختصاصی (۱۸) با دستگاه light cycler انجام پذیرفت. میزان DNA ویروس براساس  $\log_{10}$  محاسبه شد.

**تکثیر ژنوم کامل ویروس و تعیین توالی ژنوم نواحی BCP و precore**  
 روش تکثیر توالی کامل ژنوم HBV براساس روش ابداعی گانتر<sup>\*</sup> و همکارانش صورت گرفت.<sup>(۱۹)</sup> براین اساس واکنش PCR با استفاده از سیستم با دقیقت بالای PicoMaxx<sup>TM</sup> مربوط به شرکت استراتاژن و در حجم ۱۱ میلی‌لتر شامل ۲۰ میلی‌لتر DH<sub>2</sub>O، ۱ میلی‌لتر p1، ۲ میلی‌لتر p2 با غلظت ۱۰۰ نگ/ml PicoMaxx<sup>TM</sup>، ۲۵ میلی‌لتر ۴ میلی‌لتر مستر میکس و ۱۰۰ نگ/ml DNA و مطابق با سیکل واکنش گانتر انجام شد.

همچنین جهت تکثیر نواحی BCP و precore با روش hemi-nested PCR و پرایمرهای اختصاصی مورد استفاده توسط گان<sup>\*\*</sup> و همکارانش، در حجم ۱۱ میلی‌لتر و محلول واکنش پلیمراز آنزیم Taq شرکت QIAGEN و براساس ۴۰ سیکل شامل: ۹۵°C برای ۳ دقیقه- ۵۰°C برای ۱ دقیقه برای مرحله اول PCR استفاده شد. ۲۱ از واکنش مرتباً مرحله اول برای مرحله دوم PCR و در حجم ۱۱ میلی‌لتر تکثیر مشابه مرحله اول مورد استفاده قرار گرفت. جهت تعیین توالی ژنومی کامل ویروس و نواحی BCP و precore، محصول PCR با استفاده از کیت آماده (Perkin Elmer, Cetus Norwalk, CT) با پرایمرهای اختصاصی (Big Dye terminator cycle sequencing، برای ایجاد زنجیره دورشته‌ای کامل مورد استفاده قرار گرفت.<sup>(۱۹)</sup>

\* Logistic regression analysis

\*\* Gunther

\*\*\* Gan

ژنوتیپ D ویروس هپاتیت B دارای توزیع گسترده در نقاط مختلف دنیا و غالباً در ناحیه مدیترانه است.<sup>(۴، ۵)</sup> ایران در ناحیه خاورمیانه واقع شده است و تخمین زده می‌شود بیش از ۳۵٪ جمعیت آن با این ویروس تماس داشته‌اند و حدود ۷٪ از جمعیت در یک طیف ۱٪-۷٪ براساس منطقه جغرافیایی حامل مزمن این ویروس می‌باشد.<sup>(۶، ۷)</sup> که درین بیماران مبتلا به سیروز این مقدار به میزان ۸۰٪-۸۴٪ افزایش می‌یابد.<sup>(۸)</sup> این اطلاعات نشان می‌دهند که عفونت مزمن هپاتیت B می‌تواند به عنوان یک عامل بیماری کبدی در ایران مطرح شود، هر چند HCC به عنوان ۱۰٪ عامل نخست ایجاد سرطان در کشور به شمار نمی‌رود.<sup>(۹، ۱۰)</sup> نتایج حاصل از مطالعات متعدد نشان داده که موتاسیونهای نواحی ore و BCP با بیماری پیش‌رفته کبدی همراه بوده‌اند.<sup>(۱۰-۱۴)</sup> دو گروه prec و precore با موتاسیونهای این ویروس که از اهمیت بیشتری برخوردارند عبارتند از آنهایی که در precore اتفاق می‌افتد و غالباً شامل موتاسیون تبدیل می‌شوند. همراه با ایجاد کدون توقف در G به A در باز شماره ۱۸۹۶A (G1۸۹۶A) و همراه با ایجاد کدون توقف در ۱۸۵۸ می‌باشد، علاوه بر آن می‌تواند با باز T در موقعیت شماره ۱۸۵۸A می‌باشد که با کاهش میزان precore mRNA و در نتیجه کاهش تولید HBeAg در مرحله نسخه‌برداری همراه استند.<sup>(۱۰، ۱۵)</sup> در مطالعه اخیری که با بررسی ژنوم کامل ویروس تنها در ۵ بیمار گزارش شد.<sup>(۱۶، ۱۷)</sup> مطالعه فیلوژنتیک ویروس هپاتیت B در آنها موتاسیونهای آن و اثر این موتاسیونها در وضعیت بالینی بیماران تاکنون انجام نشده است. مطالعه حاضر به منظور نشان دادن نسخه‌های ژنتیکی HBV در ارتباط با سیر بیماری و بررسی نقش احتمالی ژنوتیپ و موتاسیونهای precore و BCP در عفونت مزمن با این ویروس صورت پذیرفت.

### آنالیز آماری

در این مطالعه تمام آنالیزها با نرم‌افزار SPSS (version 14) انجام گرفت. همچنین آزمون t student برای مقایسه بین متغیرهای پیوسته و  $\chi^2$  و Fisher برای مقایسه متغیرهای مستقل استفاده شد. همچنین تحلیل رگرسیون ضرایب خطی با یک پیشینیه عقلایی<sup>\*</sup> برای نشان دادن وابستگی پیش‌بینی‌کننده‌ها به کار گرفته شد.

### روش بررسی بیماران

تعداد ۱۸۵ نفر از بیماران مراجعه‌کننده به بیمارستان شریعتی برای ورود به این مطالعه انتخاب شدند. معیار ورود این بیماران داشتن

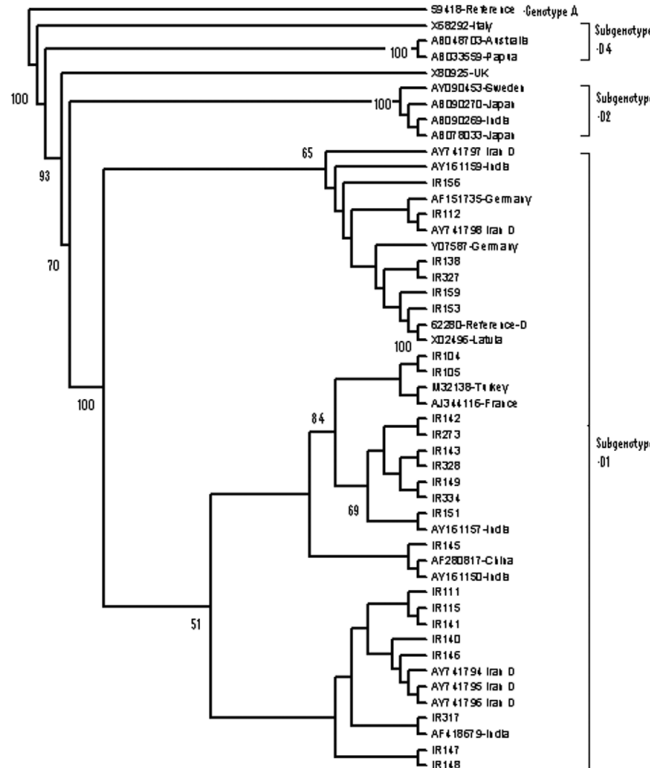
## یافته‌ها

### مطالعه فیلوزنوتیک و آنالیز توالی ژنومی و ویروس هپاتیت B

توالی ژنومی کامل ویروس جدادشده از ۲۴ بیمار با استفاده از نرم افزار CLUSTALX (۲۰) با یکدیگر ردیف شدن و سپس با ۱۷ توالی رفرانس ژنوتیپ D حاصل از بانک اطلاعاتی Cene bank بررسی فیلوزنوتیک انجام گرفت. همچنین یک توالی ژنوم HBV ژنوتیپ A به عنوان ریشه‌سازی خارج از گروه مورد استفاده قرار گرفت. درختچه فیلوزنوتیک با استفاده از روش neighbor-joining رسم شد. (۲۱)، جهت بالا بردن اطمینان از صحت درختچه حاصل، ایجاد ساختار مجدد بوت استرپ تا ۱۰۰ بار انجام گرفت (شکل ۱) (۲۲) و بر این اساس نشان داده شد که گونه‌های ایرانی با میزان بوت استرپ ۹۹٪ در سواب ژنوتیپ D1 و ساب تیپ ayw2 با قرابت ژنتیکی ۹۷٪-۱۰۰٪ قرار می‌گیرند.

تمام ORF‌های ژنوم HBV برای بررسی موتاسیونهای موجود مورد مطالعه قرار گرفتند. مرجع مورد نظر برای مقایسه و یافتن موتاسیون‌ها بانک اطلاعات ژنومی موجود به References Laboratory (VIDRL) Victorian Infectious Disease در آنالیز توالی کامل ژنومی نشان داده شد تمام سوشاهی جدادشده در آنالیز توالی ۳۸۲bp هستند، به جز در ۲ مورد HCC که با حذف ۹ باز

دارای توالی ۳۸۲bp هستند، به جز در ۲ مورد HCC که با حذف ۹ باز



شکل ۱: درختچه فیلوزنوتیک حاصل از ۲۴ توالی کامل ژنوم HBV

در ناحیه preS2 همراه بوده‌اند. در ناحیه «a» determinant کدون S1۴۳L از ۱۲۰T P1۲۰T و M1۲۳T موتاسیون‌های HBsAg در ۴ بیمار وجود داشت. همچنین موتاسیون‌های rtV1۷۳L, rtL1۸۰L و YMDD ناحیه ترانس کریپتاز معکوس در موتیف YMDD که در همپوشانی با ناحیه S موتاسیون‌های sI۱۹۵M و sE1۶۴D را سبب می‌شوند، در ۴ بیمار با سابقه مصرف لامیوودین دیده شد.

### موتاسیونهای ناحیه BCP, precore و BCP, precore

جمعیت مورد مطالعه ما شامل ۹۵ بیمار-HBeAg-منفی و ۱۵ بیمار-HBeAg-مثبت است. خصوصیات و متغیرهای مربوط به این بیماران و مقایسه آنها با هم در جدول ۱ خلاصه شده است.

در بین دو گروه، اختلافی در نسبت زن و مرد وجود نداشت. بیماران HBeAg-منفی تقریباً ۱۳ سال از بیماران HBeAg-منفی مسن تر بوده (۴۴٪/۰.۹ سال در مقابل ۳۰٪/۱ سال؛ p=۰.۰۰۱؛) و دارای سطح سرمی ویروس پایین تر ( $8 \times 10^4$  در مقابل  $1 \times 10^6$  در مقابل؛ p<۰.۰۰۱؛) و ALT بالاتر (۹۴٪/۲ در مقابل ۸۰٪/۸؛ p=۰.۰۱؛) و سطح آلکالن فسفاتاز پایین تر (۸۰٪/۸ در مقابل ۶۰٪/۲؛ p=۰.۰۵) بوده‌اند. فراوانی موتاسیونهای precore و BCP مرتبط با HBeAg در جدول ۲ نشان داده شده است. پلی‌مورفیسم G1۷۵۷A با G1۷۶۷A و موتاسیونهای G1۸۹۶A و G1۷۶۴A به ترتیب با ۸۴٪/۷۶٪ و ۸۴٪/۷۶٪ مورد دارای بیشترین فراوانی بودند. در موارد مطالعه شده، موتاسیون T1۷۶۲ با فراوانی ۳۸ مورد (۳۴٪/۵) در کل بیماران گزارش شد و این موتاسیون در ۷٪/۹۴ موارد با موتاسیون A1۷۶۴ که دارای فراوانی ۶۸ مورد (۶۱٪/۸) است، همراه بود. موتاسیون مضاعف T1۷۶۲/A1۷۶۴ به جز ۲ مورد در بقیه موارد در بیماران ۱۸۹۶-منفی اتفاق افتاد. همچنین موتاسیون در بازه‌های شماره ۱۸۹۶-منفی در بیماران HBeAg-منفی دیده شد [z=۷.۷؛ صفر (۰٪) در مقابله (۰٪) و ۱۹٪ در مقابل (۰٪)؛ صفر (۰٪) در مقابل (۰٪) و ۶۹٪ در مقابل (۰٪)].

### اهمیت بالینی موتاسیونهای ناحیه precore و BCP

در این مطالعه نشان داده شد که موتاسیون مضاعف T1۷۶۲/A1۷۶۴ در بیماران مسن تر اتفاق می‌افتد (۴۷±۱۴٪/۲ سال در مقابل ۴۰±۱۵٪/۱ سال؛ p=۰.۰۲۱؛) و این بیماران دارای سطح بالاتری از ALT سرمی (۸۳٪/۶±۴۶٪/۵ IU/I) در مقابل (۴۶٪/۶±۴۶٪/۵ p<۰.۰۰۱؛) و همچنین سطح سرمی ویروس بالاتری در مقابل (۴۶٪/۴۶٪/۲ p<۰.۰۰۱؛) مشاهده شده که پلی‌مورفیسم G1۷۵۷A دارای الگوی فراوانی معکوسی بوده و در افراد جوان تر (۴۰٪/۱۴٪/۲ سال در مقابل IU/I) ALT سرمی پایین تر (۷۷٪/۵±۱۴٪/۸ در مقابل ۷۵٪/۹±۳۵٪/۵ و سطح پایین تری از ویروس ۵۲٪/۱ copies/ml) در مقابل (۶۶٪/۳ p=۰.۰۴۷؛) همراه بوده است.

## هیاتیت مزمن B با زنوتیپ D

جدول ۱: مشخصات دموگرافیک و مقایسه متغیرهای مختلف در بین بیماران HBeAg مثبت و HBeAg منفی

Alk-ph (IU) Mean±SD	ALT (IU) Mean±SD	Log <sub>10</sub> Viral load (copies/ml)	جنس زن-مرد (%)	متوسط سن (سال)	تعداد (%)	متغیر	
						eAg status	p-value
۱۴۱/۷±۳۶/۶	۴۹/۲±۶/۱	۹۷/۶۷	(۷۳/۵-۲۶/۵) ۱۱-۴	۳۰/۹	(۱۳/۵) ۱۵	eAg positive	
۸۰/۸±۸/۲	۶۰/۲±۶/۱	۴۸/۸۵	(۷۴/۵-۲۵/۵) ۲۴-۷۱	۴۴/۱	(۸۶/۵) ۹۵	eAg negative	
۹۳/۶-۶۵/۸	۴/۴-۲۶/۶	--	--	۵/۵-۲۱	--	۹۵%CI	
۰/۵۸	۰/۱۵	<۰/۰۱	۱/۰۰	۰/۰۱	--		

جدول ۲: فراوانی موتاسیونهای ناحیه HBeAg BCP و precore مرتبط با

motaSionhahs PreCore		motaSionhahs BCP						
A ۱۸۹۹	A ۱۸۹۶	T ۱۷۶۶	T ۱۷۶۲/A ۱۷۶۴	A ۱۷۶۴	T ۱۷۶۲	A ۱۷۵۷	eAg status	
(تعداد %)	(تعداد %)	(تعداد %)	(تعداد %)	(تعداد %)	(تعداد %)	(تعداد %)		
(۲۰) ۱۹	(۷۲/۶) ۶۹	(۴۶/۳) ۴۴	(۳۵/۸) ۳۴	(۶۷/۵) ۶۴	(۳۶/۸) ۳۵	(۷۴/۷) ۷۱	eAg negative	
(۰) ۰	(۰) ۰	(۲۰) ۳	(۱۳/۳) ۲	۴(۲۶/۷)	۳(۲۰)	(۸۶/۷) ۱۳	eAg positive	
۰/۰۷	<۰/۰۱	۰/۰۷	۰/۱۳	۰/۰۰۴	۰/۲۵	۰/۵۱	p-value	
(۱۷/۵) ۱۹	(۶۲/۵) ۶۹	(۴۸) ۵۳	(۳۲/۵) ۳۶	(۶۲) ۶۸	(۳۴/۵) ۳۸	(۷۶/۵) ۸۴	Overall	

سن در صدد یافتن پیش‌آگهی برای ALD برآمدیم. همان طور که انتظار می‌رفت ارتباط معنی‌داری بین سن و ALD وجود داشت، به طوری که به ازای هر ۱۰ سال افزایش سن، خطر ابتلا به ALD به میزان تقریباً ۲/۵ برابر افزایش می‌یافتد (OR: ۲/۴۱-۴/۳۷). میزان تقریباً ۲/۵ برابر افزایش می‌یافتد (OR: ۲/۴۱-۴/۳۷). میزان تقریباً ۲/۵ برابر افزایش می‌یافتد (OR: ۲/۴۱-۴/۳۷).

همچنین بین سطح سرمی ویروس و ALT با درصد موتاسیون A1۸۹۶ نیز ارتباط معنی‌دار و معکوس وجود داشت (p<۰/۰۱) در مقابل ۶۹/۳±۴۸/۶ IU/I (p<۰/۰۱) در مقابل ۴۷/۷±۲۲/۴ IU/I (p<۰/۰۱). (p<۰/۰۱).

جدول ۳: ارتباط متغیرها و بیماری پیشرفت‌هه کبدی

p-value	پیشرفت بیماری		متغیر
	پیشرفت	غیر پیشرفت	
<۰/۰۱	۵۵/۴±۱۳/۲	۳۹/۸±۱۳/۴	میانگین سن (سال)
۰/۴۵	۶۵/۵±۳۰/۴	۵۷/۳±۴۳/۶	(IU) ALT
۰/۱۵	۲۴۶/۹±۹۰/۸	۲۱۳/۳±۸۹/۵	(IU) Alk-ph
۰/۵۰	۵۹/۹	۵۴/۵	Log <sub>10</sub> Viral load (copies/ml)
<۰/۰۱	۶(٪۳۱/۳)	۷۸(٪۸۵/٪۷)	A1۷۵۷G
<۰/۰۱	۱۳(٪۶۸/۵)	۲۳(٪۲۵/٪۳)	A1۷۶۲T/G1۷۶۴A
۰/۵۷۳	۱۳(٪۶۸/۴)	۵۶(٪۶۱/۵)	مotaSionhahs مضاعف

## عوامل خطر بیماران پیشرفت‌ه کبدی

در جمعیت مورد مطالعه ما تعداد ۷ بیمار مبتلا به HCC وجود داشت و با آنالیز تغییرنیافت، سن بالاتر (p=۰/۰۰۲) حضور موتاسیون مضاعف T1۷۶۲/A ۱۷۶۴ (p=۰/۳) و فقدان A ۱۷۵۷ (p=۰/۰۸) با پیشرفت HCC بیماران به سمت HCC همراه بود. اما به دلیل اینکه تعداد موارد HCC محدود بود با اضافه کردن موارد سیروز به آنها گروه جدیدی از بیماران تحت عنوان بیماران پیشرفت‌ه کبدی (ALD) ایجاد شد و آنالیز آماری در این بیماران به صورتی که نتایج آن در جدول ۳ آمده است، انجام شد. بر این اساس ALD در بیماران مسن تر (۵۵/۴±۱۳/۲) در مقابل T1۷۶۲/A ۱۷۶۴ (p<۰/۰۱) در حضور موتاسیون مضاعف A ۱۷۶۲/A ۱۷۶۴ (p<۰/۰۱) در مقابل T1۷۶۲/A ۱۷۶۴ (p<۰/۰۱) در مقابل A ۱۷۵۷ (٪۶۸/۵) در مقابل (٪۲۵/٪۳) (p<۰/۰۱) و فقدان A ۱۷۵۷ (٪۳۱/٪۳) در مقابل (٪۷۸/٪۸۵/٪۷) (p<۰/۰۱) اتفاق افتاد.

همچنین با انجام رگرسیون استدلالی چندگانه و میزان کردن متغیر

هر دو نوکلئوتید در موقعیت ۱۷۶۴ و ۱۷۶۲ بر روی دومین ناحیه غنی از AT، که ۲۷ تا ۲۹ باز در بالادست جایگاه شروع نسخه برداری ( $1790 \pm 11$ ) قرار گرفته است، تأثیر می‌گذارند.<sup>(۳۰)</sup> نواحی غنی از AT به طور معمول در حدود ۲۵ باز در ناحیه بالادست نقطه شروع پرموترهای ویروسی و یا سلولی وجود دارند.<sup>(۳۱)</sup> RNA پلیمراز برای شروع نسخه برداری به این ناحیه متصل می‌شود. در برخی از بیماران موتاسیونها در موقعیت ۱۷۶۴ و ۱۷۶۲ با موتاسیون G1۸۹۶A همراه نبوده‌اند و این نشان می‌دهد که موتاسیونهای فوق به تنها ی قدر به ناپدید کردن HBeAg از سرم بیمار می‌باشند. این فرضیه با اثبات کاهش نسخه برداری precore mRNA و در نتیجه میزان ترشح HBeAg توسط موتاسیونهای فوق تأیید گردیده است. این موتاسیون مضاعف با ایجاد یک جایگاه اتصال برای فاکتور هسته‌ای هپاتوسیت-۱ (HNF-1) که خود در افزایش نسخه برداری pregenomic mRNA دخالت دارد، هم‌مان میزان نسخه برداری precore mRNA را تا ۱/۳ سطح طبیعی آن کاهش می‌دهد.<sup>(۳۲)</sup> به علاوه مشاهده شده است که تغییر ساختار pregenomic mRNA به دلیل موتاسیون مضاعف A1۷۶۴/A1۷۶۲ می‌تواند میزان تکثیر ویروس را نیز افزایش دهد.<sup>(۳۳)</sup> و ۳۴)، مانشان دادیم این موتاسیون در بیماران سیروز و HCC و هپاتیت مزمن که دارای سطح بالاتری از ویروس می‌باشند دارای فراوانی بالاتری است (p < ۰/۰۰۱). در مطالعه اخیری که توسط سندی<sup>\*</sup> و همکارانش بر روی بیماران ایرانی انجام شد یک فراوانی ۰/۸۲٪ از موتاسیون G1۸۹۶A نشان داده شد؛ به علاوه اینکه موتاسیون مضاعف T1۷۶۲/A1۷۶۴ می‌بیشتر با G1۷۵۷ در مقایسه با A1۷۶۴ همراه بود.<sup>(۳۶)</sup> موتاسیون T1۷۶۲ و A1۷۶۴ به ترتیب سبب تغییر اسید آمینه‌های لیزین به متیونین در موقعیت ۱۳۰ و والین به ایزو لوسین در موقعیت ۱۳۱ پروتئین X ویروس می‌گردند. از آن جایی که پروتئین X به عنوان یک فاکتور ترانس اکتیویتور برای ویروس و سلول میزان بان به شمار می‌رود.<sup>(۳۷)</sup> تغییر ساختار آن می‌تواند با تغییر فعالیت این پروتئین همراه باشد، به طوری که اثر پروتئین X بر پروتئین P53 و در نتیجه سیستم ترمیم DNA و رشد سلولی نشان داده است و ممکن است این پدیده در هپاتوکارسینوژن دخالت داشته باشد.<sup>(۳۸)</sup> همچنین در مطالعه حاضر تعداد ۶۹ نفر از بیماران HBeAg منفی دارای موتاسیون (A1۸۹۶ precore موتانت) گزارش گردیده‌اند و این بیماران به طور معنی داری سطح سرمی ویروس پایین‌تری در مقایسه با بیماران G1۸۹۶ داشته‌اند. موتاسیون G1۸۹۹A در ناحیه precore نیز در ۱۹ بیمار (٪۲۰) HBeAg-منفی که اغلب با G1۸۹۶A همراه بوده‌اند، گزارش شد. در نتیجه در این مطالعه نشان داده شد که

G1۷۵۷A وجود دارد، به طوری که حضور A1۷۵۷ خطر ALD را تامیزان کاهش می‌دهد (OR = ۰/۹۶ CI: ٪۷۵-٪۹۷؛ p = ۰/۰۰۱).

## بحث

در مطالعه حاضر ابتدا آنالیز توالی کامل ژنومی ۲۴ بیمار دچار بیماری هپاتیت مزمن، سیروز و HCC مورد بررسی قرار گرفت. برآسانس در ختچه فیلوژنیک حاصل، نشان داده شد که بیماران مابه وضع در یک شاخه مجزا و در ساب ژنوتیپ D1 و سروتیپ ayw2 قرار دارند. بنابراین ضمن تأیید مطالعات قبلی از ایران (۱۶ و ۱۷) نشان داده شد که سویه‌های ایرانی شباهت فراوانی به یکدیگر دارند. اخیراً خانم نوردر<sup>\*</sup> و همکارانش در مطالعه‌ای در آنالیز فیلوژنیک ۳۳ مورد از ژنوم کامل HBV با ژنوتیپ D وجود چهار ساب ژنوتیپ D1-D4 را با بوت استرب ٪۷۴-٪۱۰۰ نشان دادند. هیچ‌کدام از این ساب ژنوتیپ‌ها با آمینواسید اختصاصی مشخص نشدند. توزیع جغرافیایی ژنوتیپ و سروتیپ‌ها با اطمینان مشخص می‌کند که این ویروس در جمعیته‌ای میزبان قابل انتقال است و این نحوه انتقال ویروس در طی قرنها محفوظ مانده است.<sup>(۲۳)</sup> سویه‌های ژنوتیپ D و به ویژه ساب ژنوتیپ D از کشورهای مدیترانه‌ج جدیده‌اند.<sup>(۲۴)</sup> و ۲۵، پدیده مهاجرت از این کشورها، به ویژه به کشورهای غربی در طی دهه‌های اخیر وجود چنین سویه‌های مشابهی را در آنها توجیه می‌کند.

در مطالعه حاضر وجود ژنوتیپ یکسان در بیمارانی با درجات متفاوتی از بیماری کبدی نشان می‌دهد که ژنوتیپ ویروس به تنها ی عامل شدت بیماری نیست و از طرفی شواهد نامعلومی از ارتباط ژنوتیپ D در ایجاد بیماری پیشرفتی کبدی وجود دارد.<sup>(۲۶) و ۲۷</sup> بررسی موتاسیونها از سویه‌های جدادشده در این مطالعه، حذف ۳ و ۲ اسید آمینه رادر ۲ بیمار مبتلا به HCC در ناحیه pre-S<sub>2</sub> که دارای همپوشانی با ناحیه spacer در pre-S<sub>2</sub> است، نشان داد. به علاوه موتاسیون M1 در ناحیه pre-S<sub>2</sub> نیز، که در یکی از بیماران HCC وجود داشت، در ارتباط با گزارش شد.<sup>(۲۸)</sup> اطلاعات حاصل از محیط کشت و موجود زنده نمایانگر نقش حذف توالیهای ناحیه pre-S<sub>2</sub> در ایجاد هیپرپلازی هپاتوسیت‌ها و تومورزایی وابسته به HBV از طریق افزایش بیان سیکلین A بوده است.<sup>(۲۹)</sup> همچنین وجود موتاسیونهای موتیف YMDD مربوط به دومین C ژن پلیمراز نشان دهنده تغییر حساسیت به درمانهای ضدویروسی در ۴ مورد از بیماران بود. در بررسی موتاسیونهای ناحیه precore و BCP نیز در ۱۱ بیمار مطالعه شده مشخص شد که ۱/۲۶٪ از بیماران HBeAg-مثبت، دارای موتاسیون در ناحیه BCP بودند که این درصد به ۷۶/۸٪ در بیماران HBeAg-منفی افزایش یافت.

\* Norder  
\*\* Sendi

## نتیجه‌گیری

اطلاعات حاصل از این مطالعه نشان داد که موتاسیونهای ناحیه basal core promoter در پیشگویی پیامد بالینی در عفونت با ژنوتیپ D ویروس هپاتیت B تأثیر دارند که این اثر مستقل از سن بیماران، سطح ALT و Viral load است. در حالی که موتاسیون مضاعف T1762/A1764 در این ناحیه با حدتر شدن بیماری همراه بود، جانشینی G1896A با سیر بهتر بیماری دیده شد.

سابق ژنوتیپ D1 به عنوان ژنوتیپ غالب در بیماران ما مطرح است. ژنوتیپ به تنها لی نمی‌تواند مسئول افزایش اثر بدخیمی بیماری باشد، چرا که ژنوتیپ بیماران با درجات متفاوت بیماری یکسان است و ژنوم ویروس درین بیماران ایرانی قربت ژنوتیپی نزدیکی دارد. دیده شد که وجود موتاسیون مضاعف T1762/A1764 و فقدان A1762/A1764 بیشتر در ارتباط با بیماری پیشرفت‌کننده بوده است. همچنین حذف در ناحیه pre-S<sub>2</sub> نیز در بیماران ما ممکن است با پیش‌آگهی بدتر بیماری همراه باشد.

## References

- Andre F. Hepatitis B epidemiology in Asia, the Middle East and Africa. *Vaccine* 2000; 18 Suppl 1: S20-2.
- Jardi R, Rodriguez F, Buti M, Costa X, Valdes A, Allende H, et al. Mutations in the basic core promoter region of hepatitis B virus. Relationship with precore variants and HBV genotypes in a Spanish population of HBV carriers. *J Hepatol* 2004; 40: 507-14.
- Duong TN, Horike N, Michitaka K, Yan C, Mizokami M, Tanaka Y, et al. Comparison of genotypes C and D of the hepatitis B virus in Japan: a clinical and molecular biological study. *J Med Virol* 2004; 72: 551-7.
- Westland C, Delaney Wt, Yang H, Chen SS, Marcellin P, Hadziyannis S, et al. Hepatitis B virus genotypes and virologic response in 694 patients in phase III studies of adefovir dipivoxil. *Gastroenterology* 2003; 125: 107-16.
- Lindh M, Andersson AS, Gusdal A. Genotypes, nt 1858 variants, and geographic origin of hepatitis B virus--large-scale analysis using a new genotyping method. *J Infect Dis* 1997; 175: 1285-93.
- Farzadegan H SM, Noori-Arya K. Epidemiology of viral hepatitis among Iranian population a viral marker study. *Ann Acad Med Singapore* 1980; 9: 144-8.
- Merat Sh, Rezvan H, Khatibian M. Hepatitis B in Iran. *Arch Iranian Med* 2000; 3: 192-201.
- Bagheri Lankarani K S-FM, Nabipoor I. Reassessment of the role of hepatitis B and C viruses in postnecrotic cirrhosis and chronic hepatitis in southern Iran. *Irn J Med Sci*. 1999; 24: 117-21.
- Frouzandeh B, Rezvan H, Mirmajlesi SH, Azadegan B. Seroepidemiologic study of hepatitis B virus and its role in the pathogenesis of chronic liver disease and HCC in Iranian patients. *J Med Council* 1992; 11: 241-9.
- Takahashi K, Aoyama K, Ohno N, Iwata K, Akahane Y, Baba K, et al. The precore/core promoter mutant (T1762A1764) of hepatitis B virus: clinical significance and an easy method for detection. *J Gen Virol* 1995; 76: 3159-64.
- Raimondo G, Schneider R, Stemler M, Smedile V, Rodino G, Will H. A new hepatitis B virus variant in a chronic carrier with multiple episodes of viral reactivation and acute hepatitis. *Virology* 1990; 179: 64-8.
- Orito E, Mizokami M, Sakugawa H, Michitaka K, Ishikawa K, Ichida T, et al. A case-control study for clinical and molecular biological differences between hepatitis B viruses of genotypes B and C. Japan HBV Genotype Research Group. *Hepatology* 2001; 33: 218-23.
- Baptista M, Kramvis A, Kew MC. High prevalence of 1762 (T) 1764 (A) mutations in the basic core promoter of hepatitis B virus isolated from black Africans with hepatocellular carcinoma compared with asymptomatic carriers. *Hepatology* 1999; 29: 946-53.
- Brunetto MR, Stemler M, Bonino F, Schodel F, Oliveri F, Rizzetto M, et al. A new hepatitis B virus strain in patients with severe anti-HBe positive chronic hepatitis B. *J Hepatol* 1990; 10: 258-61.
- Buckwold VE, Xu Z, Chen M, Yen TS, Ou JH. Effects of a naturally occurring mutation in the hepatitis B virus basal core promoter on precore gene expression and viral replication. *J Virol* 1996; 70: 5845-51.
- Amini-Bavil-Olyaee S, Sarrami-Forooshani R, Mahboudi F, Sabahi F, Adeli A, Noorinayer B, et al. Genotype characterization and phylogenetic analysis of hepatitis B virus isolates from Iranian patients. *J Med Virol* 2005; 75: 227-34.
- Amini-Bavil-Olyaee S, Sarrami-Forooshani R, Adeli A, Sabahi F, Abachi M, Azizi M, et al. Complete genomic sequence and phylogenetic relatedness of hepatitis B virus isolates from Iran. *J Med Virol* 2005; 76: 318-26.
- Lewin SR, Ribeiro RM, Walters T, Lau GK, Bowden S, Locarnini S, et al. Analysis of hepatitis B viral load decline under potent therapy: complex decay profiles observed. *Hepatology* 2001; 34: 1012-20.
- Gunther S, Li BC, Miska S, Kruger DH, Meisel H, Will H. A novel method for efficient amplification of whole hepatitis B virus genomes permits rapid functional analysis and reveals deletion mutants in immunosuppressed patients. *J Virol* 1995; 69: 5437-44.
- Thompson JD, Gibson TJ, Plewniak F, Jeanmougin F, Higgins DG. The CLUSTAL\_X windows interface: flexible strategies for multiple sequence alignment aided by quality analysis tools. *Nucleic Acids Res* 1997; 25: 4876-82.
- Saitou N, Nei M. The neighbor-joining method: a new method for reconstructing phylogenetic trees. *Mol Biol Evol* 1987; 4: 406-25.
- Felsenstein J. Confidence limits on phylogenetics: An approach using the bootstrap. *Evolution* 1985; 39: 783-91.
- Norder H, Courouce AM, Coursaget P, Echevarria JM, Lee SD, Mushahwar IK, et al. Genetic diversity of hepatitis B

- virus strains derived worldwide: genotypes, subgenotypes, and HBsAg subtypes. *Intervirology* 2004; 47: 289-309.
24. Sunbul M, Leblebicioglu H. Distribution of hepatitis B virus genotypes in patients with chronic hepatitis B in Turkey. *World J Gastroenterol* 2005; 11: 1976-80.
  25. Serin MS, Akkiz H, Abayli B, Oksuz M, Aslan G, Emekdas G. Genotyping of hepatitis B virus isolated from chronic hepatitis B patients in the south of Turkey by DNA cycle-sequencing method. *Diagn Microbiol Infect Dis* 2005; 53: 57-60.
  26. Gandhe SS, Chadha MS, Arankalle VA. Hepatitis B virus genotypes and serotypes in western India: lack of clinical significance. *J Med Virol* 2003; 69: 324-30.
  27. Thakur V, Guptan RC, Kazim SN, Malhotra V, Sarin SK. Profile, spectrum and significance of HBV genotypes in chronic liver disease patients in the Indian subcontinent. *J Gastroenterol Hepatol* 2002; 17: 165-70.
  28. Blackberg J, Kidd-Ljunggren K. Mutations within the hepatitis B virus genome among chronic hepatitis B patients with hepatocellular carcinoma. *J Med Virol* 2003; 71: 18-23.
  29. Wang HC, Chang WT, Chang WW, Wu HC, Huang W, Lei HY, et al. Hepatitis B virus pre-S<sub>2</sub> mutant upregulates cyclin A expression and induces nodular proliferation of hepatocytes. *Hepatology* 2005; 41: 761-70.
  31. Corden J, Waslyk B, Buchwalder A. Promoter sequences of eukaryotic protein-coding genes. *Science* 1980; 209: 1406-14.
  32. Li J, Buckwold VE, Hon MW, Ou JH. Mechanism of suppression of hepatitis B virus precore RNA transcription by a frequent double mutation. *J Virol* 1999; 73: 1239-44.
  33. Gunther S, piwon N, Iwanska A, Schilling R, Meisel H, Will H. Type, prevalence, and significants of core promoter/enhancer II mutations in hepatitis B virus from immunosuppressed patients with sever liver disease. *J Virol* 1996; 70: 8318-31.
  34. Scaglioni PP, Melegari M, wands JR. Biologic proportis of hepatitis B viral genomes with mutations in the precore promoter and precore open reading frame. *Virology* 1997; 233: 374-81.
  35. Hsia CC, Yuwen H, Tabor E. Hot spot mutations in hepatitis B virus X gene in hepatocellular carcinoma. *Lancet* 1996; 348: 625-6.
  36. Sendi H, Mehrab-Mohseni M, Zali MR, Norder H, Magnus LO. T1764 G1766 core promoter double mutants are restricted to hepatitis B virus strains with an A1757 and are common in genotype D. *J General Virology* 2005; 86: 2451-8.
  37. Murakami S. Hepatitis B virus X protein: structure, function and biology. *Intervirology* 1999; 42: 81-99.
  38. Becker SA, Lee TH, Butel JS, Slagle BL. Hepatitis B virus X protein interferes with cellular DNA repair protein. *J Virol* 1998; 72: 266-72.

## **Clinical Significance of Precore and Core Promoter Mutations in Genotype D Hepatitis B-Related Chronic Liver Disease**

### **ABSTRACT**

**Mohamadkhani A**

Digestive Disease Research Center, Tehran University of Medical Sciences

**Poustchi H**

Digestive Disease Research Center, Tehran University of Medical Sciences and Storr Liver Unit, Westmead Millennium Institute, University of Sydney, NSW, Australia

**Montazeri Gh**

Digestive Disease Research Center, Tehran University of Medical Sciences

**Estakhri A**

Digestive Disease Research Center, Tehran University of Medical Sciences

**Malekzadeh R**

Digestive Disease Research Center, Tehran University of Medical Sciences

**Corresponding Author:**

*Reza Malekzadeh M.D.,*

*Digestive Disease Research Center, Shariati Hospital, Kargar-e-Shomali Ave., Tehran 14114, Iran.*

*Telefax: +98 21 88012992*

*E-mail: malek@ams.ac.ir*

**Background:** Hepatitis B virus (HBV) infection is the most common cause of end-stage liver disease in Iran. More than 70% of cases are negative for the hepatitis B e antigen (HBeAg) and have a long-term response to antiviral therapy, as well as a high relapse rate after discontinuing lamivudine or interferon. These features could be due, in part, to genetic variation of the HBV genome.

**Materials and Methods:** HBV-DNA from serum of 110 patients with chronic hepatitis B, some of whom were complicated by cirrhosis and hepatocellular carcinoma (HCC) was sequenced for basal core promoter and precore region. Twenty four of 110 patients were performed for full genomic analysis.

**Results:** In the first part of study all twenty four strains were classified into subgenotype D1, with 99% bootstrap values. In second part of study we showed that the HBeAg negative patients had a higher frequency of mutations at core promoter regions than HBeAg-positive patients (76.8% vs 26.6%). The frequencies of A1762T and G1764A mutations increased while the frequency of G1757A decreased with advance clinical stage of liver disease ( $p<0.001$ ). The double core promoter mutations T1762 /A1764 associated with G1757 conferred significantly higher and more frequent in patients with cirrhosis and HCC.

**Conclusion:** In Iran, all patients with chronic HBV, whether HBeAg positive or HBeAg negative, at the stage of cirrhosis and HCC were genotype D1. High frequency of mutations indicates the relation of antiviral pressure in Iranian population. The A1762T /G1764A double mutation of basal core promoter with A1757G polymorphism can major impacts on viral replication and severity of liver disease. *Govareh* Vol. 12, No. 1, Spring 2007; 36-42

**Keywords:** Hepatitis B, Genotype D, Hepatocellular carcinoma, Basal care promoter, Precore.